

- Run Test
- 背景
 - Linear Attention
 - Chunkwise Parallelism
 - 一个例子
- Gated Linear Attention Layer
 - GLA在模型设计方面的贡献
 - Gated states的全并行形式
- Chunked Fuse 的实现
 - fwd_decay_cumsum
 - prepare_qg_kg
 - fused_chunk_gla_fwd_kernel
 - fwd_inner_chunk
 - combine inner and intra

Run Test

```
python3 main.py
```

背景

Linear Attention

下面的公式是attention的全并行形式。

$$Q, K, V = XW_Q, XW_K, XW_V$$
$$O = \text{softmax}(QK^T)V$$

下面的公式是attention的单步计算形式（预测时）：

$$o_t = \frac{\sum_{i=1}^t \exp(q_t k_i^T) v_i}{\sum_{i=1}^t \exp(q_t k_i^T)}$$

linear attention的核心是用一个kernel function将query 和key序列中的token映射到正值，然后用内积（内积的数据并行可以用矩阵乘高效实现）作为两者之间的相似性度量， $\langle \phi(q_i), \phi(k_i)^T \rangle$ ，用来替代softmax中的 $\exp(q_i, k_i^T)$ 。于是输出 o_t 的计算可以被简化为：

$$\begin{aligned}
o_t &= \frac{\sum_{i=1}^t \phi(q_t) \phi(k_i)^T v_i}{\sum_{i=1}^t \phi(q_t) \phi(k_i)^T} \\
&= \frac{\phi(q_t) \sum_{i=1}^t \phi(k_i)^T v_i}{\phi(q_t) \sum_{i=1}^t \phi(k_i)^T} \\
o_t &\triangleq \frac{\phi(q_t) S_t}{\phi(q_t) z_t}
\end{aligned} \tag{1}$$

$$S_t = S_{t-1} + \phi(k_t)^T v_t \tag{2}$$

$$z_t = z_{t-1} + \phi(k_t) \tag{3}$$

将(1), (2), (3)进一步简化, 令 $\phi = I$ (identity function), 同时舍弃归一化因子 z_t 于是有:

$$o_t = q_t S_t \tag{4}$$

$$S_t = S_{t-1} + k_t^T v_t \tag{5}$$

式 (4) 和 (5) 就是linear attention的recurrent形式。从式 (4) 和 (5) 我们可以得到一个看待linear attention的新的视角:

1. linear attention是一个hidden state是matrix的RNN;
2. 对状态 S_t 的更新是以“+”为二元操作符, 不断累加 k_i 和 v_i 的外积; +具有结合性, 这样的累加过程是可并行的, 可以利用parallel scan算法在序列长度级别增加并行性;
3. 如果以recurrent方式完成计算, linear attention只在序列长度上循环一次, **不论是时间还是空间复杂度都不是序列长度的二次方**。过程Fig 1 (a) 所示。但缺点是如果在一个chunk之内以recurrent方式计算, **chunk之内的计算是外积、gemv和加法。他们都无法利用tensor core**。

Chunkwise Parallelism

linear attention和MHA相比优点有两个:

1. 预测时, 由于对状态进行了压缩, 可以选择用recurrent方式计算, 节约k-v cache;
2. 训练时刻, 序列长度维度的并行pattern是parallel scan, 当序列特别长的时候, 在序列长度方向还有并行性可以利用;

linear attention存在以下两种计算模式:

	Recurrent形式	全并行形式
优点	I/O复杂度低, 一次在序列长度上的for循环就可以完成输出的计算	并行性高, 可以利用tensor core
缺点	无法利用tensor core	时间和空间复杂度都是序列长度的二次方

可以看到recurrent计算形式和全并行计算形式的优缺点相对。chunkwise parallelism是用来trade-off两者的优点的一种并行方法。

将式（5）展开：

$$\begin{aligned}
 S_1 &= S_0 + k_1^T v_1 \\
 S_2 &= S_1 + k_2^T v_2 \\
 &= S_0 + k_1^T v_1 + k_2^T v_2 \\
 S_3 &= S_2 + k_3^T v_3 \\
 &= S_0 + k_1^T v_1 + k_2^T v_2 + k_3^T v_3 \\
 S_t &= S_0 + \sum_{i=1}^t k_i^T v_i \quad \leftarrow \text{这里外积之上的连加等价于矩阵乘}
 \end{aligned}$$

最后一行外积之上的连加 $\sum_{i=1}^t k_i^T v_i$ 就等于矩阵乘；如果我们将 S_t 分为多个chunk，每个chunk含有 C 个token，那么 \mathbf{S}_t 可以写成： $\mathbf{S}_t = \mathbf{K}_{[d_k, C]}^T \mathbf{V}_{[C, d_v]}$ ，从而利用起来tensor core计算出 $S_t = K^T V$ ，但是要注意因为矩阵乘直接得到的是0到 $C - 1$ 时刻的累加，不暴露每一步循环的中间结果， \mathbf{S}_t 如果得到 \mathbf{S}_t 后，通过 $q_t \mathbf{S}_t$ 计算出来 o_t ，这样一个 o_t 始终是每一个chunk最后一个时刻的输出。

如果希望一个chunk内的计算能够利用上tensor core，需要再次切换回： $(QK^T) \odot MV$ ，这个和经典Transformer相同的，有着 $O(C^2 d)$ 复杂度的计算过程，先算 \mathbf{QK} 再算 \mathbf{V} 这个视角。

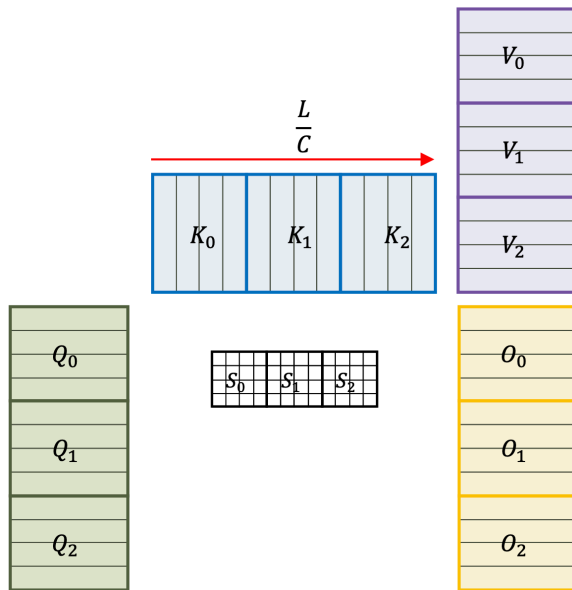


Fig 1. chunk-form linear attention.

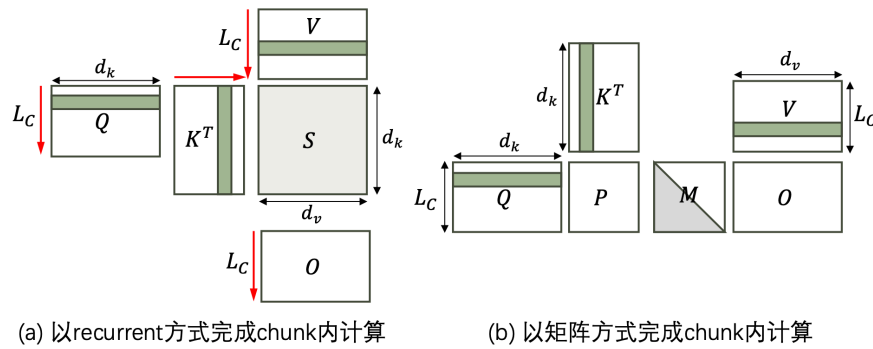


Fig 2. attention的chunk内计算

我们来看一下在块间累积状态：

$$\mathbf{O}_{i+1} = \mathbf{Q}_{i+1} \mathbf{S}_i + ((\mathbf{Q}_{i+1} \mathbf{K}_{i+1}^T) \odot \mathbf{M}) \mathbf{V}_{i+1}$$

$$\mathbf{S}_{i+1} = \mathbf{S}_i + \mathbf{K}_{i+1}^T \mathbf{V}_{i+1}, \quad i = 0, \dots, \frac{L}{C}$$

。因为外积计算先算 $\mathbf{K}^T \mathbf{V}$ 得到状态，只能得到最后一个时间步的输出。一个长度为 C 的块计算输出 $\mathbf{O}_{[C \times d_v]}$ ，需要以二次方复杂度的方式来计算当前块这个局部窗口内 C 个时间步的输出，也就是上面公式的蓝色部分。于是chunkwise 并行算法将整个计算过程分为两部分：

1. 每一个块独立的计算出当然块的输出和**每一块最后一个时刻的状态**。这一步是块间全并行方式，互相独立地完成，也就是上述公式的蓝色部分。
2. 将每一块最后一个时刻的状态在块间进行传递，也就是上述公式的红色部分。

到这里就会出现两种实现选择：

1. 第一步以更大的并行性将所有的chunk独立进行计算（相当于用kernel并行地计算上面公式中的蓝色部分，没有数据依赖），每个分块计算出状态 \mathbf{S}_i ；这时候状态会占一个较大的空间（ $\frac{L}{C} \times d_k \times d_v$ ， C 是分块的大小，但应该比全并行方式存储 $\mathbf{P} = \mathbf{K} \mathbf{V}$ 占据 $L \times L$ 要小才会有明显的受益？），存储回DRAM；第二步再用另外一个kernel，以parallel scan 方式利用序列级别的并行性，对状态进行累加，计算出最终的 \mathbf{O} （相当于用parallel scan kernel计算上面公式的红色部分），或者串行累加解决空间；
2. 为了避免将状态 \mathbf{S} 存回DRAM，kernel内部在序列长度方向循环，在SRAM上计算出状态，对状态进行累加，这时候不会产生DRAM和SRAM之间的I/O，但是并行性会较小一些；

我们继续用一个hello world的例子来理解一下上面第一个公式红色和蓝色的部分所做的事情。

一个例子

假设我们以分段的方式计算0~11之上的前缀和：

Input	0	1	2	3	4	5	6	7	8	9	10	11
prefix-sum	0	1	3	6	10	15	21	28	36	45	55	66

1. 将整个序列分成三段，每段首先相互独立的计算前缀和

第一个chunk

Input	0	1	2	3
prefix-sum	0	1	3	6

第二个chunk

Input	4	5	6	7
prefix-sum	4	9	15	22

第三个chunk

Input	8	9	10	11
prefix-sum	8	17	27	38

2. 传播块间的状态，对每个chunk进行调整

这时chunk 2和chunk 3由于是独立计算的，需要为每一项累加之前chunk的累积状态，chunk 2的每一项都应该加上chunk 1的最后一项，chunk 3的每一项都应该加上chunk 1和chunk 2最后一项之和。

第二个chunk

Input	4	5	6	7
调整	4+6	9+6	15+6	22+6
	10	15	21	28

第三个chunk

Input	8	9	10	11
调整	8+28	17+28	27+28	38+28
	36	45	55	66

第一步就是红色的公式，第二步就是蓝色公式的部分。

chunk之间沿着序列长度方向对状态 S_t 进行累积，在序列长度方向的parallel scan（下面公式的红色部分），chunk之内以全并行或者recurrent 方式进行计算。

Gated Linear Attention Layer

Gated Linear Attention在linear attention的基础上加上input-dependent的门控，对状态进行衰减，也就是引入了下图红色的 G 矩阵。 G_t 是一个 $d_k \times d_v$ 大小的矩阵，并且依赖于输入。

$$\begin{aligned} o_t &= q_t S_t & [1, d_v] &= [1, d_k] \otimes [d_k, d_v] \\ S_t &= G_t \odot S_{t-1} + k_t^T v_t & [d_k, d_v] &= [d_k, d_v] \odot [d_k, d_v] + [d_k, 1] \otimes [1, d_v] \end{aligned}$$

我们把GLA看做是一个RNN layer（causal形式，不attend到未来时刻， i 时刻只去attend i 时刻之前）由以下计算得到：

$$\begin{aligned} \text{for } t \in [0, L-1) \\ s_t &= s_{t-1} * g_t + k_t \otimes v_t & // \text{对状态进行衰减，与当前时刻状态相加} \\ o_t &= \gamma * q_t * s_t & // \text{gemv操作} \end{aligned}$$

GLA在模型设计方面的贡献

如果通过full rank的方法得到 G_t ，那么需要 $d_k \times d_k \times d_v$ 大小的映射矩阵，需要学习的参数会非常多；GLA通过以下2个技巧解决parameter-efficiency问题：

1. 第一，通过一个低秩方法得到整个序列长度级别的gating factors矩阵：

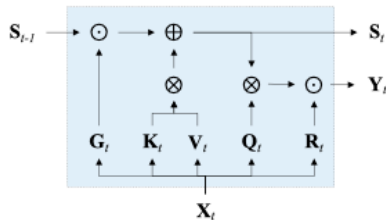
$$G = \text{sigmoid} \left((x_{[1, d_k]} W_{[d_k, d_1]}^1) W_{[d_1, d_k]}^2 \right)$$

也就是将输入 \mathbf{X} 先映射到一个**维度非常小的向量空间**，再映射到**最终的向量空间**。上面公式中两个蓝色的 W 矩阵是门控部分的可学习参数。

2. 第二，每个时间步的 G_t 矩阵通过对 G 的列进行扩展得到： $G_t = (\alpha_t^T \mathbf{1})$ ；

通过以上两步，GLA只增加了： $d_k \times d_1 + d_1 \times d_k = 2d_1 \times d_k$ 个可学习参数得到了gating factor，其中 $d_1 \lll d$ ，比full rank 需要的 $d_k \times d_k \times d_v$ 方式要高效许多。

下面四行公式是gated linear attention layer在算法设计上得到的最终模型，公式（8）和（9）是linear attention部分，（10）和（11）是normalization和类似于输出门。



$$S_t = G_t \odot S_{t-1} + K_t^T V_t \in \mathbb{R}^{d_k \times d_v}, \quad (8)$$

$$O_t = Q_t^T S_t \in \mathbb{R}^{1 \times d_v}, \quad (9)$$

$$R_t = \text{Swish}(\mathbf{X}_t \mathbf{W}_r + \mathbf{b}_r) \in \mathbb{R}^{1 \times d_v}, \quad (10)$$

$$Y_t = (R_t \odot \text{LN}(O_t)) \mathbf{W}_O \in \mathbb{R}^{1 \times d}. \quad (11)$$

Fig 3. GLA layer以recurrent模式单步计算的线性代数公式

下图是GLA layer作者的实现转换为tensor operator之间的数据流依赖，对应了Fig 3。图中GLA圈出来的部分实现了论文中的公式（8）和（9），但在实现中分成了多个kernel。

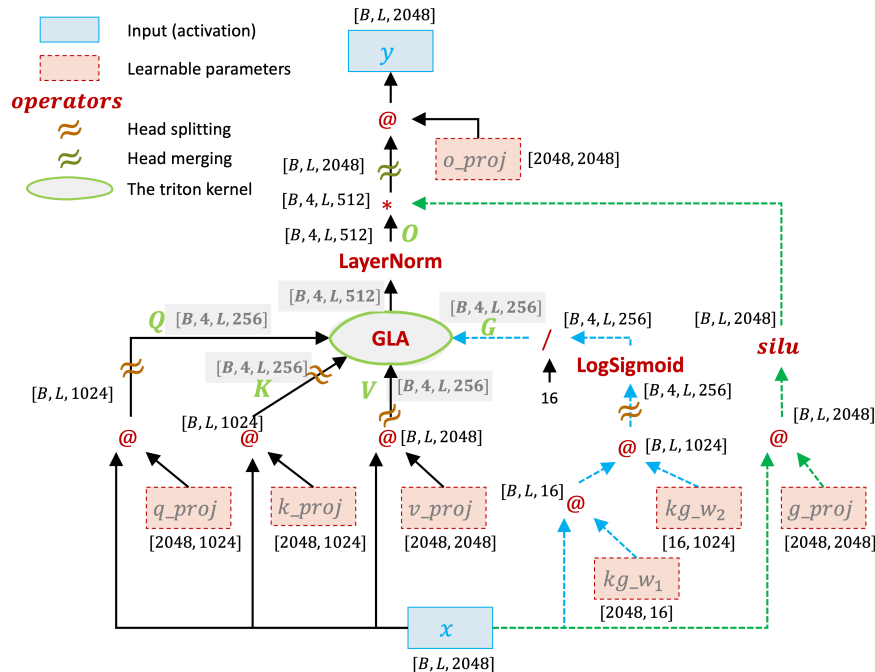


Fig 3. GLA layer的数据流依赖

从DNN模型设计的角度看GLA的数据流动，上图中蓝色虚线这一枝信息的流动起到了和传统RNN中input gate类似的功能，也是GLA这个模型中"gated"所指的部分。绿色虚线这一枝信息的流动起到了和传统RNN中output gate类似的功能。

一些注释：

1. $\text{LogSigmoid}(x) = \log \frac{1}{1+\exp(-x)}$ 。将sigmoid函数的输出映射到log空间，将连乘转换为对数空间的连加。

PyTorch里LogSigmoid计算是以2位为底的对数，作者在代码实现中通过换底公式，将LogSigmoid激活的输出乘以 $\frac{1}{\ln 2}$ ($\log_2(x) = \frac{\ln x}{\ln 2}$)，转换为以 e 为底的对数。然后后续会通过 2^x 还原回sigmoid的输出，也就是gating的输出（gate是[0, 1)之间的一个浮点数）。

2. $\text{silu}(x) = x * \text{sigmoid}(x)$

Gated states的全并行形式

当引入 G_t 对状态 S_t 进行衰减之后，我们很容易发现上面的chunk-wise并行方式需要重新进行推导。为了得到全并行方式（或者判断一个递推式是否存在某种等价的高效全并行实现形式），我们将递推公式： $S_t = G_t \odot S_{t-1} + k_t^T v_t$ 进行unroll展开，于是会得到：

$$\begin{aligned}
S_1 &= G_1 \odot S_0 + k_1^T v_1 \\
S_2 &= G_2 \odot S_1 + k_2^T v_2 \\
&= G_2 \odot (G_1 \odot S_0 + k_1^T v_1) + k_2^T v_2 \\
&= G_2 \odot G_1 \odot S_0 + G_2 \odot k_1^T v_1 + k_2^T v_2 \\
S_3 &= G_3 \odot S_2 + k_3^T v_3 \\
&= G_3 \odot (G_2 \odot G_1 \odot S_0 + G_2 \odot k_1^T v_1 + k_2^T v_2) + k_3^T v_3 \\
&= \mathbf{G}_3 \odot \mathbf{G}_2 \odot \mathbf{G}_1 \odot S_0 + \mathbf{G}_3 \odot \mathbf{G}_2 \odot k_1^T v_1 + \mathbf{G}_3 \odot k_2^T v_2 + k_3^T v_3
\end{aligned}$$

注意观察上面的公式，假设当前时刻为 t ，从1到 t 时刻的gating factor全部都会作用于 S_0 ，对 S_0 进行衰减，也就是说距离当前时刻越远的状态对 t 时刻的影响越小。假设在计算每个时间步的输出 o_t 时，总是从0时刻开始运算，于是我们会得到以下展开的 S_t 计算公式。同时，上文提到在GLA这个模型中，处于效率方面的考虑 G_t 这个衰减矩阵来自于对向量 α_t （大小 $1 \times d_k$ ）的扩展运算，即： $G_t = (\alpha_t^T \mathbf{1})$ （这里 $\mathbf{1}$ 的大小为 $1 \times d_v$ ），将 G_t 的这个具体形式一并带入unrolled的 S_t 计算公式，于是有：

$$\begin{aligned}
S_t &= \sum_{i=1}^t \left(\left(\prod_{j=i+1}^t G_j \right) \odot (k_i^T v_i) \right) \\
&= \sum_{i=1}^t \left(\left(\prod_{j=i+1}^t \alpha_j^T \mathbf{1} \right) \odot (k_i^T v_i) \right)
\end{aligned}$$

令 $b_t \triangleq \prod_{j=1}^t \alpha_j$ （这是一个沿着序列长度维度的parallel scan运算），于是 S_t 可以写成：

$$\begin{aligned}
S_t &= \sum_{i=1}^t \left(\left(\frac{b_t}{b_i} \right)^T \mathbf{1} \right) \odot k_i^T v_i \\
&= \sum_{i=1}^t \left(\left(\frac{b_t}{b_i} \right) k_i \right)^T v_i
\end{aligned}$$

一旦采用了外积视角通过矩阵乘先计算了 $\mathbf{K}^T \mathbf{V}$ ，得到的是到当前时刻的累加状态，而不能得到所有时刻的输出。公式 \mathbf{S}_t 得到了是chunk-wise算法中到 t 时刻为止的状态，这与上文讨论的非gating的chunk-wise并行计算方式是一致的，我们还需要一个能够的得到每个时间步输出的块内全并行计算。

$o_t = q_t S_t$ ，于是有：

$$\begin{aligned}
o_t &= q_t \sum_{i=1}^t \left(\left(\frac{b_t}{b_i} \right)^T \mathbf{1} \right) \odot k_i^T v_i \\
&= \sum_{i=1}^t (q_t \odot b_t) \left(\frac{k_i}{b_i} \right)^T v_i \\
&= (q_t \odot b_t) \sum_{i=1}^t \left(\frac{k_i}{b_i} \right)^T v_i
\end{aligned}$$

gating factor同时作用于 q_t 和 k_i 。将 b_i^T ($i = 0, \dots, L$) 进行stack, 记作 $\mathbf{B} \in (0, 1)^{L \times d}$ 。将上面的公式写成矩阵化的形式:

$$\mathbf{O} = \left((\mathbf{Q} \odot \mathbf{B}) \left(\frac{\mathbf{K}}{\mathbf{B}} \right)^T \odot \mathbf{M} \right) \mathbf{V}$$

公式中每一个操作数的形状为: $[C, d_v] = [C, d_k] \odot [C, d_k] \left(\frac{[C, d_k]}{[C, d_k]} \right)^T [C, d_v]$, 上式就是GLA的全并行公式。如果能够提前对 \mathbf{Q} 和 \mathbf{K} 进行衰减得到 $\tilde{\mathbf{Q}} = \mathbf{Q} \odot \mathbf{B}$ 及 $\tilde{\mathbf{K}} = \frac{\mathbf{K}}{\mathbf{B}}$, 那么 $\tilde{\mathbf{Q}}\tilde{\mathbf{K}}^T$ 依然可以利用矩阵乘完成。

但是 \mathbf{B} 是一个对 $(0, 1)$ 之间浮点数沿着序列长度方向上的连乘, 随着序列长度增加数值会无限趋近于0, 导致计算 $\frac{\mathbf{K}}{\mathbf{B}}$ 是数值不稳定的。为了让数值计算稳定, $\mathbf{P} \triangleq (\mathbf{Q} \odot \mathbf{B}) \left(\frac{\mathbf{K}}{\mathbf{B}} \right)^T \odot \mathbf{M}$, 将计算转换到对数空间, 将得到 \mathbf{B} 的连乘变成对数空间的连加, 然后再通过exp操作转换回来原空间, 于是有:

$$\mathbf{P}_{ij} = \sum_{k=1}^{d_k} \mathbf{Q}_{i,k} \mathbf{K}_{j,k} \exp(\log(\mathbf{B}_{i,k}) - \log(\mathbf{B}_{j,k})), \quad i \geq j$$

这个公式的计算pattern和矩阵乘一样, 如下图所示。上式中的连加符号就是在矩阵乘的 K 维度进行reduce, 但是可以注意由于 A, B 操作数 (沿用矩阵乘的namning convention) 需要首先和gating factor进行element-wise运算 (为了使用tensor core, 实现的时候会对 Q 和 K 预先完成与gating)。

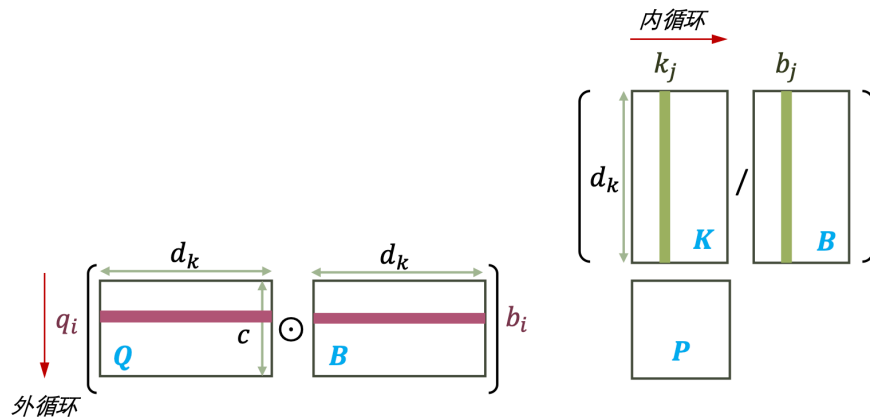


Fig.

这里我们总结一下，也就是说GLA要解决的一个问题是：引入data-dependent的门控机制对状态进行衰减，对学习效果的改善有很大帮助，但是随着序列长度的增加会引起数值不稳定问题。在对数空间的计算稳定更高，但是会无法利用起tensor core。

Chunked Fuse 的实现

分成了5步，前4步是4个triton kernel，最后一步是一个简单的相加，用了PyTorch的operator。下面的符号都尽量沿用了代码中对应的变量名，以便和代码对应。

Notation	Explanation	取值量级	
B	batch size	32	
L	sequence length	2048	
H	head number	4	
D_{qk}	query和key的hidden dimension	1024或者2048这样的量级	
D_v	value的hidden dimension	1024或者2048这样的量级	
BT	序列长度维度上的分块大小	固定取16	太小了
BK	D_{qk} 维度上的分块大小	D_{qk} 和64中的较小值	
NK	$NK = \frac{D_{qk}}{BK}$	D_{qk} 维度上的分块数目	
BV	D_v 维度上的分块大小	D_v 和64中的较小值	
NV	$NV = \frac{D_v}{BV}$	D_v 维度上的分块数目	

输入tensor	形状
Q	$[B, H, L, D_{qk}]$
K	$[B, H, L, D_{qk}]$
V	$[B, H, L, D_v]$
gK	$[B, H, L, D_{qk}]$

下面表格第3列的”数据划分“，就对应了CUDA device kernel launch config中blocks的三个维度，也就是并发blocks数目。

Kernel	数据划分	threads per CTA
$g_o = \text{fwd_decay_cumsum}(g)$	$NK, \frac{L}{BT}, B * H$	32
$q_g, k_g = \text{prepare_qg_kg}(q, k, g_o)$	$NK, \frac{L}{BT}, B * H$	32
$o = \text{fused_chunk_gla_fwd_kernel}(q_g, k_g, v, g_o, o)$	$NK, NV, B * H$	64
$o_2 = \text{fwd_inner_chunk}(q, k, g_o)$	$NK, \frac{L}{BT}, B * H$	128
combine inner and intra chunks	/	由PyTorch operator完成, 见后面的说明

fwd_decay_cumsum

这个kernel是为了计算论文中的 \mathbf{B} 矩阵，在序列长度维度上进行分块，实现的时候分块大小固定为16。但是由于这个kernel在序列长度上并行分布blocks，因此gating factor的累乘只在长度为16的窗口内进行。

第1个kernel是一个很小的element-wise kernel，用来计算沿着序列长度 L 维度的gated factor的累乘。输入的是通过低秩方法得到的gating factor $GK_{[B, H, L, D_{qk}]}$ 。由于多样本和多head之间完全独立，我们总是可以忽略 B ， H 这两个全并行维度，他们最终会映射到CUDA的blocks之上并发进行处理。于是我们始终只关注如何处理一个序列。

Fig 4是fwd_decay_cumsum这个kernel处理数据的示意图，这个kernel在 G 的hidden维度和序列长度维度并行。

1. 每一个CTA相互独立地处理 $D_{qk} \times BT$ 大小的数据。
2. 这个kernel的pattern是一个2D kernel，在序列长度维度上进行scan，在 G 的hidden dimension上没有数据依赖，可以全并发处理。

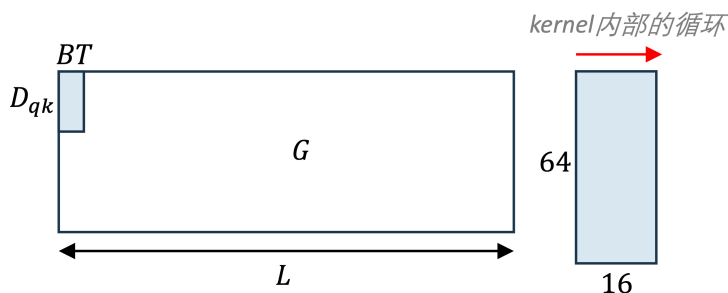


Fig 5. fwd_decay_cumsum的并行方式

这个kernel内部带有一个pattern为scan的for循环： $Y = \text{scan} \left((\vec{s}, \vec{x}) \rightarrow f, I = \vec{1}, \text{rows}(X) \right)$, $f(\vec{s}, \vec{x})$ 是scan携带的二元算符，公式如下：

$$f(\vec{s}, \vec{x}) = \vec{s} + \vec{x} / \ln 2$$

这个kernel可能是为了提高并行性，在蓝色小块内部进行了累积和运算，但是小块之间是独立的，也就是说这个kernel计算完毕后，**gating factor**在每一个长度为16的local窗口内进行了累积，但是并没有在全序列长度范围内进行累积。

prepare_qg_kg

以 Q ， K ， V 和 G 为输入，以和 Q ， K 等大的 Q_g 和 K_g 为输出，给 Q 和 K 都乘以gating factor G ，进行衰减。这个kernel完成的数学计算如下（实现中需要先对 g 计算2的幂运算，将映射到对数空间的gating factor进行还原得到sigmoid的输出，下面的公式省略了这个2的幂运算）：

$$q_i = q_i * g_i * \gamma$$

$$k_i = k_i * (\text{last_decay} - g_i)$$

```
load(last_decay)
```

```
for i in range(BT):
```

```
    load(_q) # [BK]
```

```
    load(_k) # [BK]
```

```
    load(_g) # [BK]
```

```
    _q *= _g * scale
```

```
    _k *= (last_decay - _g)
```

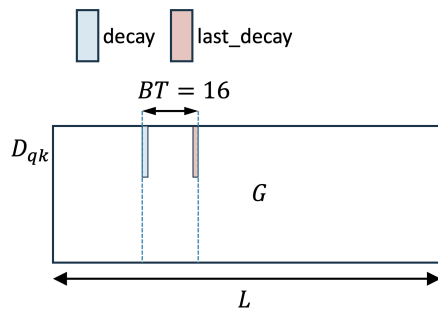
```
    store(_k)
```

```
    store(_g)
```

这个kernel和 fwd_decay_cumsum 的分数据方式，kernel内部循环方式完全一样，也就是每个kernel依然独立地去处理Fig 4中蓝色部分的数据块。当前kernel需要读取gating factor矩阵 G 中 D_{qk} 行， BT 列大小的一块数据（Fig 4蓝色方块大小）的一块数据，来看 last_decay 的指针偏移计算，last_decay 取到这块数据的最后一列。

```
last_decay = tl.load(g + i_bh * s_qk_h + (i_c * BT + BT - 1) * DK + i_k * BK
                    + tl.arange(0, BK))
```

取到的数据如下图所示：



fused_chunk_gla_fwd_kernel

这个kernel完成了在整个序列长度上累积状态，本质上是一个parallel scan过程。这个kernel的分数据方案如下，这个公式的内部以recurrent模式计算linear attention，每个块是相互独立的，只有这个kernel里面的运算使用到了tensor core。

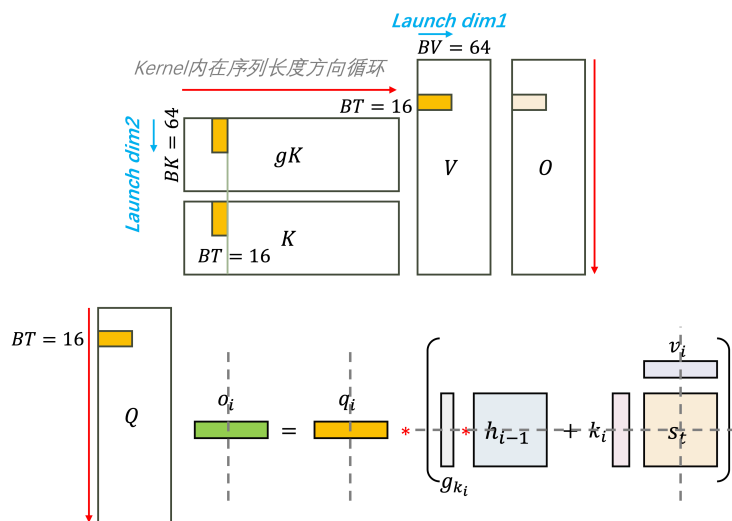


Fig 6. fused_chunk_gla_fwd_kernel的并行方式

这个kernel内部的for循环在整个序列长度方向上进行循环，每个循环步处理一个分块。 h_0 大小为 $[d_k, d_v]$ 初始化为全0。

$$o_t = q_t \otimes h_{t-1}$$

$$h_t = h_{t-1} * g_{db} + k_t \otimes v_t \quad \leftarrow \text{这里的 } k_t \text{ 已经被gating factor调整过}$$

第2个公式中的 g_{db} 对应了代码中的 d_b 。 d_b 取到了一个序列第一个分块（跨16列）的最后一列。随着kernel内的循环在序列长度分块上移动， g_{db} 总是指向当前分块的最后一列，类似于 prepare_qg_kg 中 last_deacy 的作用。

```
d_b = g + i_bh * s_qk_h + (BT - 1) * s_qk_t + i_k * BK + tl.arange(0, BK)
load(d_b)
```

第二个公式中外积转换为矩阵乘，等价于在多次外积之上的累加和。

```
b_h = zeros(BK, BV) # hidden初始化为0
for i in range(L / BT):
    load(b_k) # b_k 形状: [BK, BT]
    load(b_v) # b_v 形状: [BT, BV]
    load(b_q) # b_q 形状: [BT, BK]
    load(d_b) # d_b 形状: [BK]

    b_o = zeros(BT, BV, dtype=float32)

    b_o = b_q @ b_h # [BT, BV] = [BT, BK] @ [BK, BV]
    b_h = b_h * d_b + b_k @ b_v # [BK, BV] = [BK, BV] * [BK, 1] + [BK, BT] @ [BT, BV]

    store(b_o)
```

fwd_inner_chunk

这个kernel分数据的方式和kernel 1, 2 完全相同。每个小分块之间完全的独立。以 Q , K 和 G 为输入，输出tensor的大小 $[NK, B, H, \frac{L}{BT}, BT, BT]$ 。

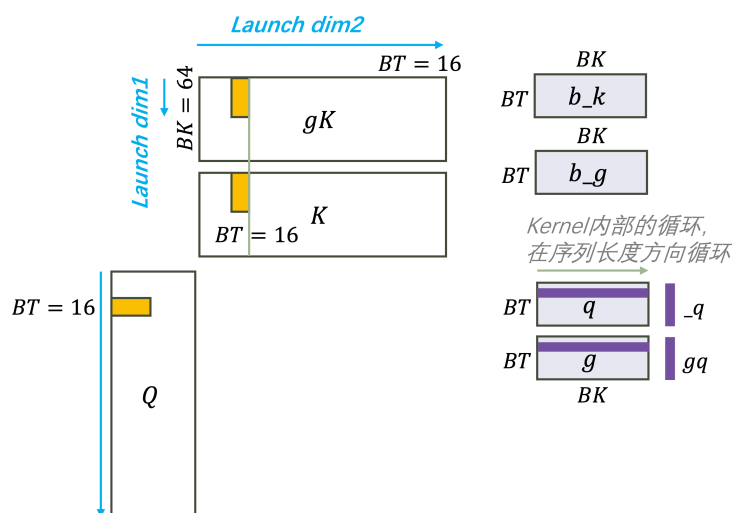


Fig 7. fwd_inner_chunk的并行方式

kernel内部的for循环在序列长度方向循环。Fig 6的右半部分是 `fwd_inner_chunk` kernel内部access数据的示意图，下面的代码是这个kernel完成的计算（下面的变量名和上图以及作者代码中的实现完全相同，方便对应回作者的代码）：

```

for i in range(BT):
    s = (_q * b_k) * (gq - b_g) # [BT, BK], 注意这里的形状, 第一个“*”和最后一个“-”是broadcast
    score = sum(s, axis=1) # [BT, 1], 这里是在算一个q和K-chunk的内积。
    score = tl.where(o_i <= i, score, 0) # [BT, BT], o_i = range(0, BT), causal mask

```

combine inner and intra

这一步是用PyTorch的tensor operator完成的。

```

# A has a shape of [NK, B, H, L/BT, BT, BT]
v2 = rearrange(v, 'b h (n c) d -> b h n c d', n=num_chunk)
A = A.sum(0) # A是`fwd_inner_chunk`的输出`, [B, H, L/BT, BT, BT]
o2 = A @ v2 # [B, H, L/BT, BT, Dv]
o2 = rearrange(o2, 'b h n c d -> b h (n c) d') # [B, H, L, Dv]
# fwd_inner_chunk结合到这一行为止, 联合起来用传统Transformer平方复杂的方式计算出了每个块之内的输出

o.add_(o2)

```